

64-я Всероссийская научная конференция
МФТИ

Моделирование гравитационного
потенциала тел сложной формы
содержащих неоднородности

А.С. Юдицкая^{1,2}, С.С. Ткачев²

¹ МФТИ

² ИПМ им. М.В. Келдыша РАН

Содержание

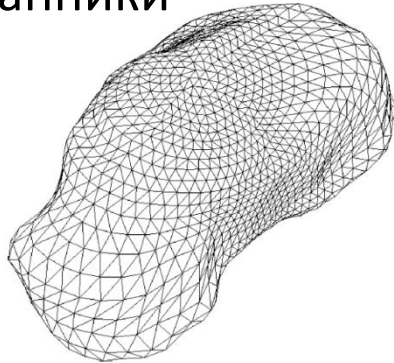
- Введение
- Постановка задачи
- Модель многогранника
- Модель сферических гармоник
- Сравнение подходов
- Заключение

Введение

- Для задач сближения и исследования астероидов требуется уметь моделировать гравитационный потенциал
- Астероиды обладают сложной формой и могут иметь неоднородности

Подходы описания гравитационного потенциала

Многогранники



R. Werner, The gravitational potential of a homogeneous polyhedron or don't cut corners

Модель сферических гармоник

$$U = \frac{G}{r} \sum_{l=0}^{\infty} \frac{P_l[\sin(\theta)]}{r^l} C_{l,0} + \frac{G}{r} \sum_{l=1}^{\infty} \sum_{m=1}^l \frac{P_{l,m}[\sin(\theta)]}{r^l} \{C_{l,m} \cos(m\varphi) + S_{l,m} \sin(m\varphi)\}$$

D. Vallado, Fundamentals of astrodynamics and applications.

Постановка задачи

Дано: форма тела, заданная с помощью поверхностной сетки; масса тела

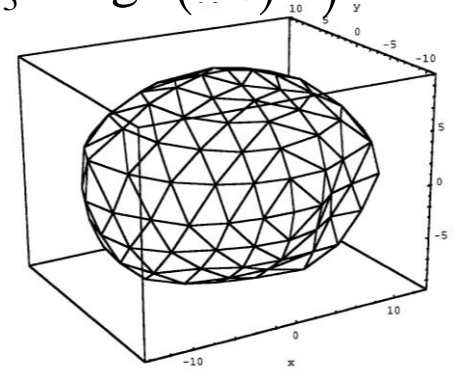
Задачи:

1. Искусственно добавить в астероид область неоднородности
2. Посчитать потенциал и ускорение в заданных точках
3. Посмотреть влияние неоднородности на потенциал и ускорение

Модель многогранника

$$U_{triangle} = \frac{\Delta z}{2} (\det_{12} L_{12} + \det_{23} L_{23} + \det_{31} L_{31}) - \frac{\Delta z^2}{2} (S_1 + S_2 + S_3 - \text{sign}(\Delta z) \pi)$$

$$U = G\sigma \sum_{faces} U_{triangle}$$



$$\det_{12} = \Delta x_1 \Delta y_2 - \Delta x_2 \Delta y_1; \quad \det_{23} = \Delta x_2 \Delta y_3 - \Delta x_3 \Delta y_2; \quad \det_{31} = \Delta x_3 \Delta y_1 - \Delta x_1 \Delta y_3$$

$$L_{12} = \frac{1}{r_{12}} \ln \left(\frac{r_1 + r_2 + r_{12}}{r_1 + r_2 - r_{12}} \right); \quad L_{23} = \frac{1}{r_{23}} \ln \left(\frac{r_2 + r_3 + r_{23}}{r_2 + r_3 - r_{23}} \right); \quad L_{31} = \frac{1}{r_{31}} \ln \left(\frac{r_3 + r_1 + r_{31}}{r_3 + r_1 - r_{31}} \right)$$

$$S_1 = \arctan \left(\frac{\Delta z [\xi_1 (\eta_2 - \eta_3) + \xi_2 (\eta_3 - \eta_1) + \xi_3 (\eta_1 - \eta_2)]}{-\left\{ \det_{31} \det_{12} + \Delta z^2 [(\xi_2 - \xi_1)(\xi_1 - \xi_3) + (\eta_2 - \eta_1)(\eta_1 - \eta_3)] \right\} / r_1} \right)$$

$$S_2 = \arctan \left(\frac{\Delta z [\xi_1 (\eta_2 - \eta_3) + \xi_2 (\eta_3 - \eta_1) + \xi_3 (\eta_1 - \eta_2)]}{-\left\{ \det_{12} \det_{23} + \Delta z^2 [(\xi_3 - \xi_2)(\xi_2 - \xi_1) + (\eta_3 - \eta_2)(\eta_2 - \eta_1)] \right\} / r_2} \right)$$

$$S_3 = \arctan \left(\frac{\Delta z [\xi_1 (\eta_2 - \eta_3) + \xi_2 (\eta_3 - \eta_1) + \xi_3 (\eta_1 - \eta_2)]}{-\left\{ \det_{23} \det_{31} + \Delta z^2 [(\xi_1 - \xi_3)(\xi_3 - \xi_2) + (\eta_1 - \eta_3)(\eta_3 - \eta_2)] \right\} / r_3} \right)$$

$$\begin{bmatrix} \xi \\ \eta \\ \zeta \end{bmatrix} = \begin{bmatrix} \mathbf{i}_X & \mathbf{i}_Y & \mathbf{i}_Z \\ \mathbf{j}_X & \mathbf{j}_Y & \mathbf{j}_Z \\ \mathbf{k}_X & \mathbf{k}_Y & \mathbf{k}_Z \end{bmatrix} \begin{bmatrix} X \\ Y \\ Z \end{bmatrix} \begin{matrix} \text{матрица} \\ \text{поворота} \\ \text{СК тела} \rightarrow \text{СК} \\ \text{грани} \end{matrix}$$

r_{ij} -длина ребра ij грани

r_i -расстояние между пробной точкой и i вершиной

(x, y, z) -координаты пробной точки в СК грани

(ξ_i, η_i, ζ) -координаты i вершины грани в СК грани

$$\begin{pmatrix} \Delta x_i \\ \Delta y_i \\ \Delta z \end{pmatrix} = \begin{pmatrix} \xi_i \\ \eta_i \\ \zeta \end{pmatrix} - \begin{pmatrix} x \\ y \\ z \end{pmatrix}$$

Модель многогранника

$$\mathbf{a} = -\nabla U = -\left(\frac{\partial U}{\partial x} \quad \frac{\partial U}{\partial y} \quad \frac{\partial U}{\partial z} \right)^T$$

$$\nabla U = G\sigma \sum_{faces} A^{-1} \left(\frac{\partial U_{triangle}}{\partial x} \quad \frac{\partial U_{triangle}}{\partial y} \quad \frac{\partial U_{triangle}}{\partial z} \right)^T$$

$$\begin{bmatrix} X \\ Y \\ Z \end{bmatrix} = A^{-1} \begin{bmatrix} \xi \\ \eta \\ \varsigma \end{bmatrix}$$

A – матрица перехода
СК тела → СК грани

$$\frac{\partial}{\partial x} U_{triangle} = -\frac{\Delta z}{2} \left((\eta_2 - \eta_1) L_{12} + (\eta_3 - \eta_2) L_{23} + (\eta_1 - \eta_3) L_{31} \right)$$

$$\frac{\partial}{\partial y} U_{triangle} = \frac{\Delta z}{2} \left((\xi_2 - \xi_1) L_{12} + (\xi_3 - \xi_2) L_{23} + (\xi_1 - \xi_3) L_{31} \right)$$

$$\frac{\partial}{\partial z} U_{triangle} = -\frac{1}{2} \left(\det_{12} L_{12} + \det_{23} L_{23} + \det_{31} L_{31} \right) + \Delta z \left(S_1 + S_2 + S_3 - \text{sign}(\Delta z) \pi \right)$$

Модель сферических гармоник

$$U = \frac{\mu}{r} + \frac{G}{r} \sum_{l=1}^{\infty} \sum_{m=1}^l \frac{1}{r^l} P_{l,m} [\sin(\theta)] \{ C_{l,m} \cos(m\varphi) + S_{l,m} \sin(m\varphi) \}$$

r – расстояние до "пробной точки"

θ, φ – зенитный и азимутальный углы для "пробной точки"

$P_{l,m}$ – присоединенный полином Лежандра

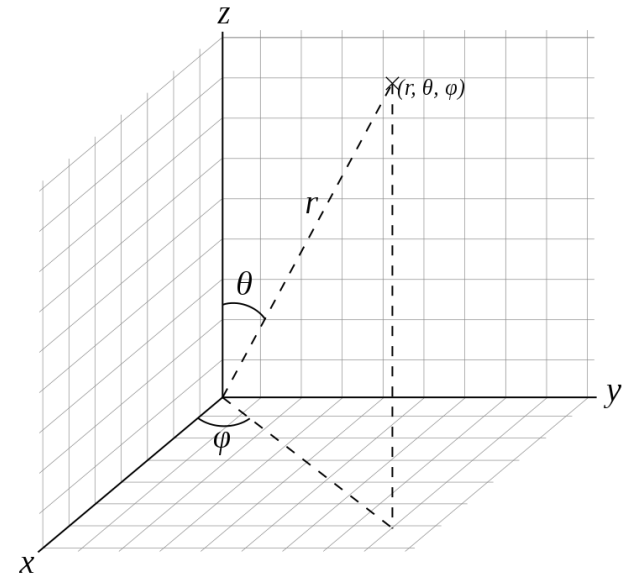
$C_{l,m}, S_{l,m}$ – коэффициенты разложения

$$P_{l,m}[x] = \frac{1}{2^l} (1-x^2)^{m/2} \sum_{j=0}^l \frac{(-1)^j (2l-2j)!}{j!(l-j)!(l-2j-m)} x^{l-2j-m}$$

$$P_l[x] = P_{l,0}[x]$$

$$C_{l,m} = \sum_{all_tetr} r_{tetr}^l (2 - \delta_{0m}) \frac{(l-m)!}{(l+m)!} P_{l,m} [\sin(\theta_{tetr})] \cos(m\varphi_{tetr}) M_{tetr}$$

$$S_{l,m} = \sum_{all_tetr} r_{tetr}^l (2 - \delta_{0m}) \frac{(l-m)!}{(l+m)!} P_{l,m} [\sin(\theta_{tetr})] \sin(m\varphi_{tetr}) M_{tetr}$$



r_{tetr} – расстояние до цт тетраэдра

$\theta_{tetr}, \varphi_{tetr}$ – зенитный и азимутальный углы для цт тетраэдра

Модель сферических гармоник

$$\mathbf{a} = -\nabla U$$

$$\frac{\partial U}{\partial r} = -\frac{G}{r^2} \sum_{l=2}^{\infty} \sum_{m=0}^l \frac{1}{r^l} (l+1) P_{l,m} [\sin(\theta)] (C_{l,m} \cos(m\varphi) + S_{l,m} \sin(m\varphi)),$$

$$\frac{\partial U}{\partial \theta} = \frac{G}{r} \sum_{l=2}^{\infty} \sum_{m=0}^l \frac{1}{r^l} (P_{l,m+1} [\sin(\theta)] - m \tan(\theta) P_{l,m} [\sin(\theta)]) \times (C_{l,m} \cos(m\varphi) + S_{l,m} \sin(m\varphi)),$$

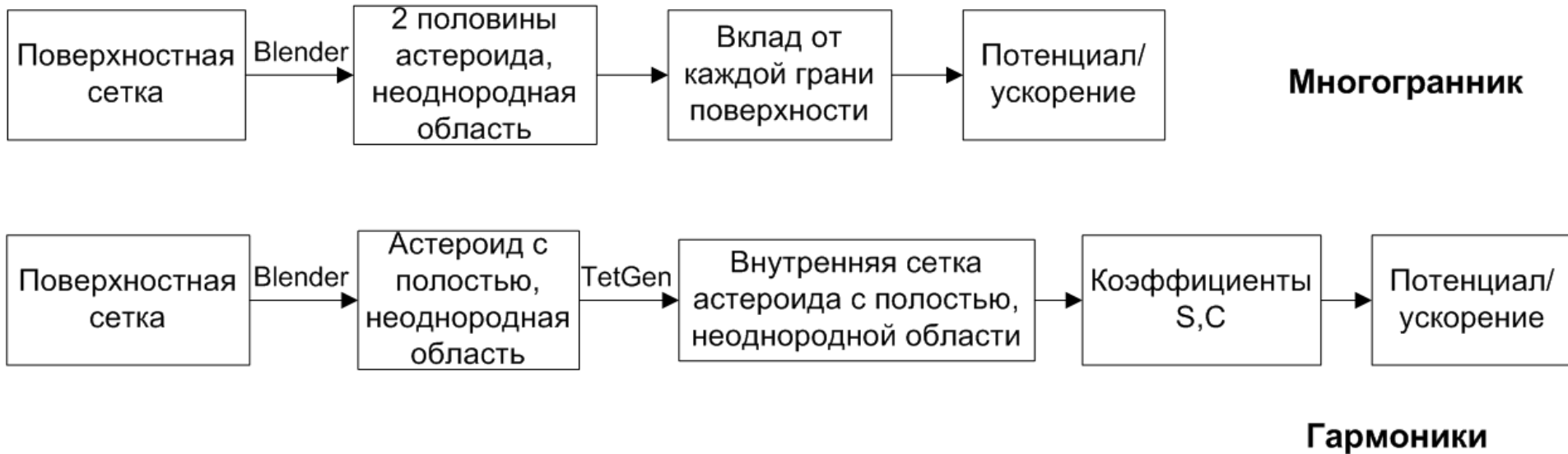
$$\frac{\partial U}{\partial \varphi} = \frac{G}{r} \sum_{l=2}^{\infty} \sum_{m=0}^l \frac{1}{r^l} P_{l,m} [\sin(\theta)] (-C_{l,m} \sin(m\varphi) + S_{l,m} \cos(m\varphi)).$$

$$a_x = \left(\frac{1}{r} \frac{\partial U}{\partial r} - \frac{z}{r^2 \sqrt{x^2 + y^2}} \frac{\partial U}{\partial \theta} \right) x - \left(\frac{1}{x^2 + y^2} \frac{\partial U}{\partial \varphi} \right) y - \frac{\mu x}{r^3}$$

$$a_y = \left(\frac{1}{r} \frac{\partial U}{\partial r} - \frac{z}{r^2 \sqrt{x^2 + y^2}} \frac{\partial U}{\partial \theta} \right) y + \left(\frac{1}{x^2 + y^2} \frac{\partial U}{\partial \varphi} \right) x - \frac{\mu y}{r^3}$$

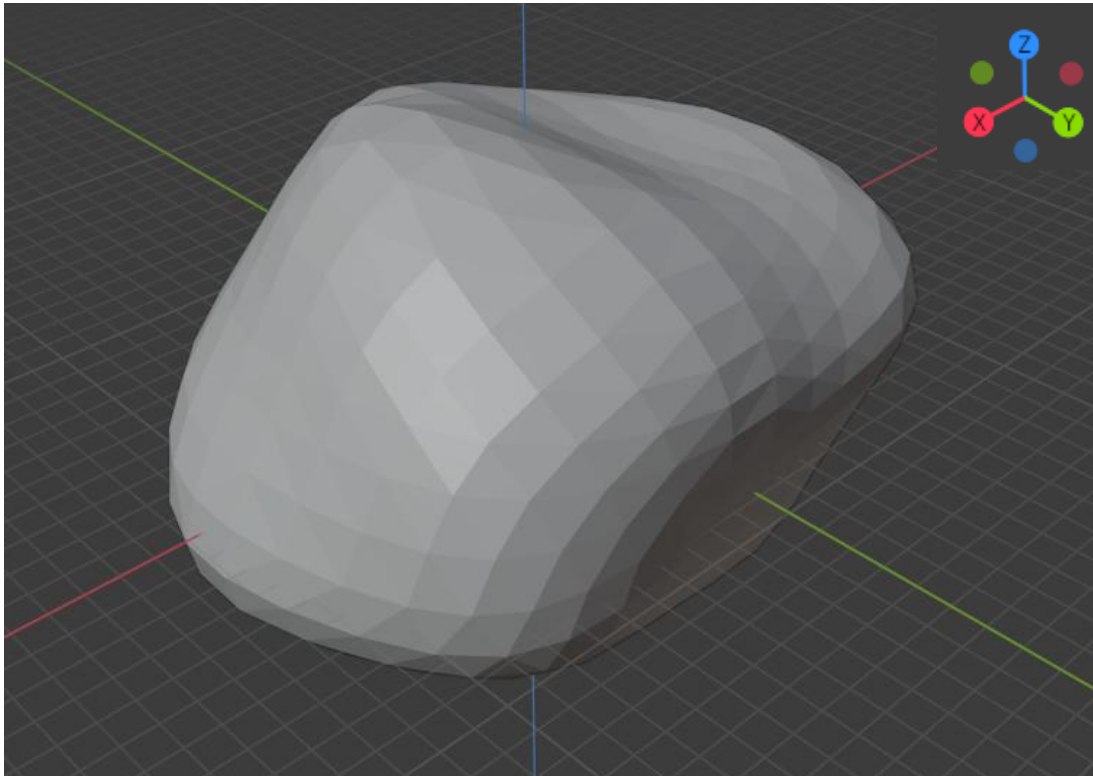
$$a_z = \frac{1}{r} \frac{\partial U}{\partial r} z + \frac{\sqrt{x^2 + y^2}}{r^2} \frac{\partial U}{\partial \theta} - \frac{\mu z}{r^3}$$

Схема расчета



(532) Геркулина

- Масса $2,29 \cdot 10^{19}$ кг
- Размеры $260 \times 220 \times 215$ км



Точность модели сферических гармоник

Метод многогранника → точное значение

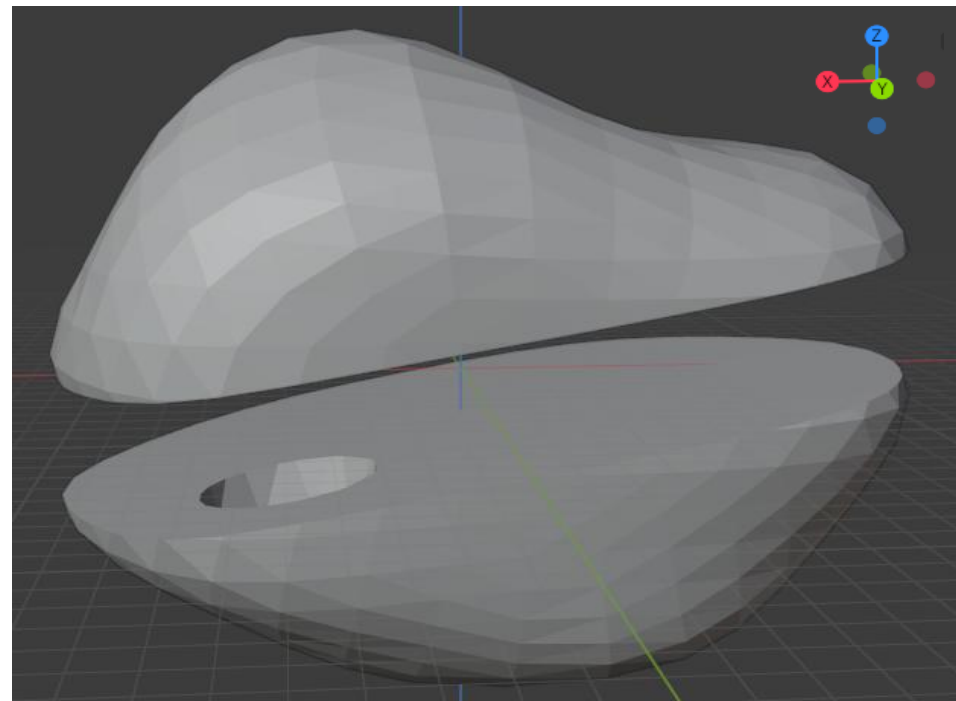
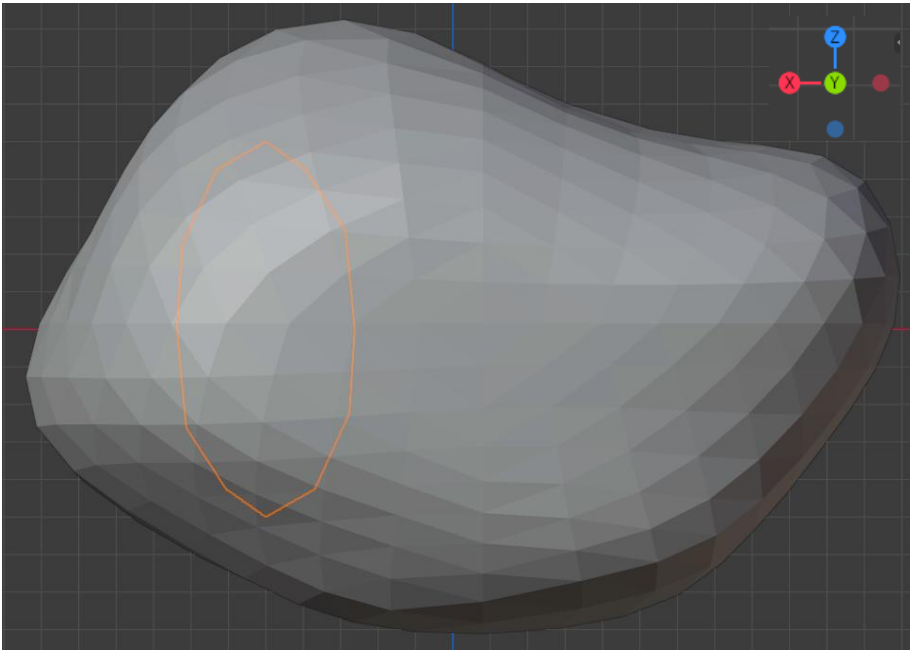
Метод сферических гармоник → $L=6$

Расстояние	Относительная ошибка потенциала	Относительная ошибка ускорения
2r	0,1313%	0,9699%
3r	0,0885%	0,6148%
4r	0,0666%	0,3465%
50r	0,0053%	0,0022%

(532) Геркулина

Размеры области $25 \times 25 \times 50$ км (3,25% от общего объема)

Положение центра области (50, 40, 0)



Сравнение

Плотность астероида $6.516 \cdot 10^{12}$ кг/км³

Плотность области $7.874 \cdot 10^{12}$ кг/км³ (железо)

Плотность области $4.68 \cdot 10^{12}$ кг/км³ (силикат)

Плотность области $11.342 \cdot 10^{12}$ кг/км³ (свинец)

• Ускорение

Астероид с полостью – 3.239%

Астероид с железной областью – 0.675%

Астероид с силикатной областью – 0.91%

Астероид с свинцовой областью – 2.4%

Заключение

- В работе построена методика расчета коэффициентов разложения по сферическим гармоникам с заданной точностью для астероида с неоднородностями
- Рассмотрено влияние неоднородной области на величину ускорения

Работа поддержана грантом РФФИ № 19-11-00256

Спасибо за внимание!